

Grundlagen der Robotik

12. DFT, Z-Transformation

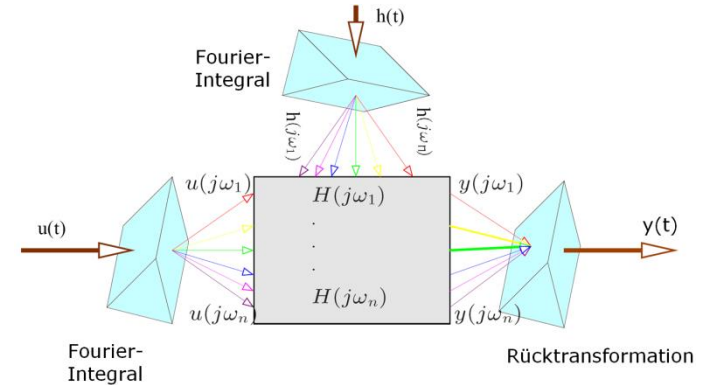
Prof. Sven Behnke



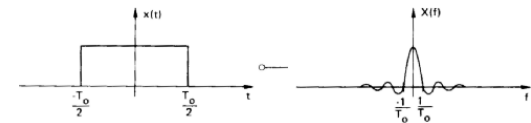
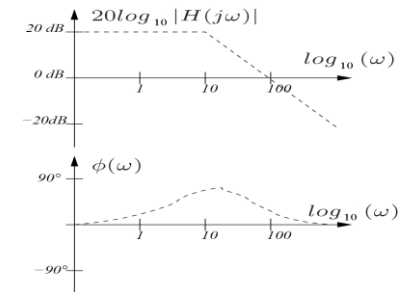
Letzte Vorlesung

- Komplexe Exponentialfunktionen $e^{j\omega t}$ (Sinusoide) sind Eigenfunktionen von LTI-Systemen
- Fourier-Integral berechnet aus Impulsantwort frequenzabhängige Verstärkung und Phasenverschiebung
- Transferfunktion $H(j\omega)$ beschreibt Systemverhalten im Frequenzraum
- Bode-Diagramm visualisiert Transferfunktion
- Hoch-, Tief-, Bandpass-Filter
- Fourier-Transformation
 - Linearität
 - Zeitableitung
 - Verschiebungsinvarianz
 - Dualität
 - Konvolutionstheorem
- Laplace-Transformation stellt Konvergenz des Fourier-Integrals sicher

$$s := \sigma + j\omega \quad F(s) = \int_{0-}^{\infty} f(t)e^{-st} dt$$



$$H(j\omega) = \int_{-\infty}^{\infty} h(\tau)e^{-j\omega\tau} d\tau$$



Laplace-Transformation

- Wir haben die Konvergenz des Fourier-Integrals gesichert:

$$F(\sigma + j\omega) = \int_{0-}^{\infty} f(t)e^{-(\sigma + j\omega t)} dt$$

- Zur Vereinfachung der Notation ersetzen wir $\sigma + j\omega$ durch die komplexe Zahl s :

$$F(s) = \int_{0-}^{\infty} f(t)e^{-st} dt$$

Laplace-Rücktransformation

- Zur Bestimmung der Rücktransformation nutzen wir:
$$F(s) \longleftrightarrow f(t) e^{-\sigma t}$$

- Einsetzung in Fourier-Rücktransformation ergibt:


$$f(t) e^{-\sigma t} = \frac{1}{2\pi} \int_{-\infty}^{\infty} F(s) e^{j\omega t} d\omega$$

$$\begin{aligned} \Rightarrow f(t) &= e^{\sigma t} \frac{1}{2\pi} \int_{-\infty}^{\infty} F(s) e^{j\omega t} d\omega \\ &= \frac{1}{2\pi} \int_{-\infty}^{\infty} F(s) e^{(\sigma + j\omega)t} d\omega \\ &= \frac{1}{2\pi j} \int_{\sigma - j\infty}^{\sigma + j\infty} F(s) e^{st} ds \end{aligned}$$

$s = \sigma + j\omega, ds = j d\omega$

Vertikales Pfadintegral bei σ

Laplace-Transformation

- Vorwärts: $F(s) = \int_{0-}^{\infty} f(t) e^{-st} dt$
- Rückwärts: $f(t) = \frac{1}{2\pi j} \int_{\sigma-j\infty}^{\sigma+j\infty} F(s) e^{st} ds$
- Als Schreibweise für die Korrespondenz von Funktionen in Zeit- und Frequenzraum nutzen wir den Operator 

$$f(t) \text{---} F(s)$$

Vorwärts

$$F(s) \text{---} f(t)$$

Rückwärts

Eigenschaften der Laplace-Transformation

- Gegebene Korrespondenzen:

$$f(t) \circ \text{---} \bullet F(s), \quad f_1(t) \circ \text{---} \bullet F_1(s), \quad f_2(t) \circ \text{---} \bullet F_2(s)$$

- Dann gilt auch:

- Zeitliche Ableitung:

$$\frac{d}{dt} f(t) \quad \circ \text{---} \bullet \quad s F(s) - f(0^-)$$

- Linearität:

$$k_1 f_1(t) + k_2 f_2(t) \quad \circ \text{---} \bullet \quad k_1 F_1(s) + k_2 F_2(s)$$

- Zeitverschiebung:

$$f(t - t_0) \quad \circ \text{---} \bullet \quad F(s) e^{-st_0}$$










- Konvolutionstheorem:

$$f_1(t) * f_2(t) \quad \circ \text{---} \bullet \quad F_1(s) F_2(s)$$

Laplace-Korrespondenzen

Signal in der Zeit

Frequenzdarstellung

$\delta(t)$		1	
$s(t)$		$\frac{1}{s}$	$Re(s) > 0$
$s(t) e^{-a t}$		$\frac{1}{s+a}$	$Re(s + a) > 0$
$s(t) t e^{-a t}$		$\frac{1}{(s+a)^2}$	$Re(s + a) > 0$
$s(t)(1 - e^{-a t})$		$\frac{a}{s(s+a)}$	$Re(s + a) > 0$
$A \text{ rect}(t/T)$		$A T \frac{\sinh(s T/2)}{s T/2}$	
$s(t) \cos(\omega t)$		$\frac{s}{s^2 + \omega^2}$	$Re(s) > 0$
$s(t) \sin(\omega t)$		$\frac{\omega}{s^2 + \omega^2}$	$Re(s) > 0$
$\sum_{n=0}^{\infty} \delta(t - nT)$		$\frac{1}{1 - e^{sT}}$	

Rationale Laplacetransformation

- Viele Systeme werden durch **Differentialgleichungen** in folgender Form beschrieben:

$$\begin{aligned} & b_0 y(t) + b_1 \frac{d}{dt} y(t) + \dots + b_n \frac{d^n}{dt^n} y(t) \\ = & a_0 u(t) + a_1 \frac{d}{dt} u(t) + \dots + a_m \frac{d^m}{dt^m} u(t) \end{aligned}$$

- Mit Startwert 0 und Linearität korrespondiert dies zur Laplace-Transformation:

$$\begin{aligned} & b_0 Y(s) + b_1 s Y(s) + \dots + b_n s^n Y(s) \\ = & a_0 U(s) + a_1 s U(s) + \dots + a_m s^m U(s) \end{aligned}$$

Rationale Laplacetransformation

- Ausklammern von $U(s)$ und $Y(s)$:

$$\begin{aligned} & Y(s)(b_0 + b_1s + \dots + b_ns^n) \\ = & U(s)(a_0 + a_1s + \dots + a_ms^m) \end{aligned}$$

- Dies kann als Transferfunktion geschrieben werden:

$$H(s) = \frac{Y(s)}{U(s)} = \frac{a_0 + a_1s + \dots + a_ms^m}{b_0 + b_1s + \dots + b_ns^n}$$

mit reellen Koeffizienten a_i, b_j ($i = 0 \dots m, j = 0 \dots n$)

Rationale Laplacetransformation

- Transferfunktionen in der Form

$$\begin{aligned} H(s) &= \frac{a_0 + a_1 s + \dots + a_m s^m}{b_0 + b_1 s + \dots + b_n s^n} \\ &= \frac{\sum_{j=0}^m a_j s^j}{\sum_{i=0}^n b_i s^i} \end{aligned}$$

werden **rational** genannt

- Zähler und Nenner sind **Polynome von s**
- Praktische Bedeutung
 - Lösen von Differenzialgleichungen
 - Einfache Rücktransformation
 - Aussagen zur Stabilität von Systemen

Rationale Laplacetransformation: Produktform

- Erinnerung: Polynom vom Grad n hat n Nullstellen
- Wir können $H(s)$ in Produktform schreiben:

$$H(s) = \frac{a_m (s - s_{0,1})(s - s_{0,2}) \dots (s - s_{0,m})}{b_n (s - s_{\infty,1})(s - s_{\infty,2}) \dots (s - s_{\infty,n})}$$

- $s_{0,1} \dots s_{0,m}$ sind Nullstellen des Zählers und daher Nullstellen der Transferfunktion $H(s)$.
→ Signale dieser Frequenzen werden ausgelöscht
- $s_{\infty,1} \dots s_{\infty,n}$ sind Nullstellen des Nenners und daher **Polstellen** der Transferfunktion $H(s)$
→ Signale dieser Frequenzen werden unendlich verstärkt
→ **Instabilität!**

Rationale Laplacetransformation: Partialbruchzerlegung

$$H(s) = \frac{a_m (s - s_{0,1})(s - s_{0,2}) \dots (s - s_{0,m})}{b_n (s - s_{\infty,1})(s - s_{\infty,2}) \dots (s - s_{\infty,n})}$$

■ Voraussetzungen:

1. Zählergrad m kleiner als Nennergrad n
2. Nur einfache Polstellen

■ Darstellung als Partialbruchzerlegung:

$$H(s) = \sum_{i=0}^n \frac{A_i}{s - s_{\infty,i}}$$

- Die reellen Zähler A_i können durch Erweiterung der Transferfunktion $H(s)$ mit den Polstellen $s - s_{\infty,i}$ berechnet werden

Vorteile der Partialbruchdarstellung

$$H(s) = \sum_{i=0}^n \frac{A_i}{s - s_{\infty,i}}$$

- Leichte Rücktransformation in die Zeitdomäne

- Erinnerung:

$$\frac{1}{s + a} \quad \bullet \text{---} \circ \quad s(t) e^{-a t}$$

- Durch Linearität gilt:

$$\sum_{i=1}^n \frac{A_i}{s - s_{\infty,i}} \quad \bullet \text{---} \circ \quad \sum_{i=1}^n A_i s(t) e^{s_{\infty,i} t}$$

Beispiel für Partialbruchzerlegung

- Gegebene Laplacetransformation:

$$H(s) = \frac{s}{s^2 + 3s + 2} = \frac{s}{(s + 1)(s + 2)}$$

- Darstellung als Partialbruchsumme:

$$H(s) = \frac{A_1}{s + 1} + \frac{A_2}{s + 2}$$

mit

$$A_1 = (s + 1)H(s) \big|_{s=-1} = \frac{s(s + 1)}{(s + 1)(s + 2)} \big|_{s=-1} = -1$$

$$A_2 = (s + 2)H(s) \big|_{s=-2} = \frac{s(s + 2)}{(s + 1)(s + 2)} \big|_{s=-2} = 2$$

Beispiel für Partialbruchzerlegung II

- Wir haben die Partialbruchdarstellung:

$$H(s) = \frac{s}{s^2 + 3s + 2} = \frac{-1}{s + 1} + \frac{2}{s + 2}$$

- Mit $\sum_{i=1}^n \frac{A_i}{s - s_{\infty,i}} \bullet \longrightarrow \sum_{i=1}^n A_i s(t) e^{s_{\infty,i} t}$

erhalten wir die Rücktransformation in die Zeitdomäne:

$$h(t) = (-1 e^{-t} + 2 e^{-2t}) s(t)$$

- Rücktransformation ist Lösung des linearen Differentialgleichungssystems, das durch Transferfunktion $H(s)$ beschrieben ist
- Laplacetransformation wandelt **Differentialgleichungssysteme** in **Systeme linearer Gleichungen**, die gelöst und zurück in die Zeitdomäne transformiert werden können

Rationale Laplacetransformation: Konvergenz I

- Wichtig: Konvergenz!
- Sei $f(t)$ die Zeitfunktion für eine Laplacefunktion in Partialbruchdarstellung:

$$f(t) = \sum_{i=1}^n A_i e^{s_{\infty,i} t} s(t)$$

- Dann ist die Laplacetransformation:

$$\begin{aligned} F(s) &= \int_0^{\infty} \sum_{i=1}^n A_i e^{s_{\infty,i} t} e^{-s t} dt \\ &= \sum_{i=1}^n A_i \int_0^{\infty} e^{(s_{\infty,i} - s) t} dt \end{aligned}$$

Rationale Laplacetransformation: Konvergenz II

- Laplacetransformation konvergiert nur, wenn Integral für jede Polstelle existiert:

$$\int_0^{\infty} e^{(s_{\infty,i}-s)t} dt = \frac{1}{s_{\infty,i} - s} e^{(s_{\infty,i}-s)t} \bigg|_{t=0}^{t=\infty}$$

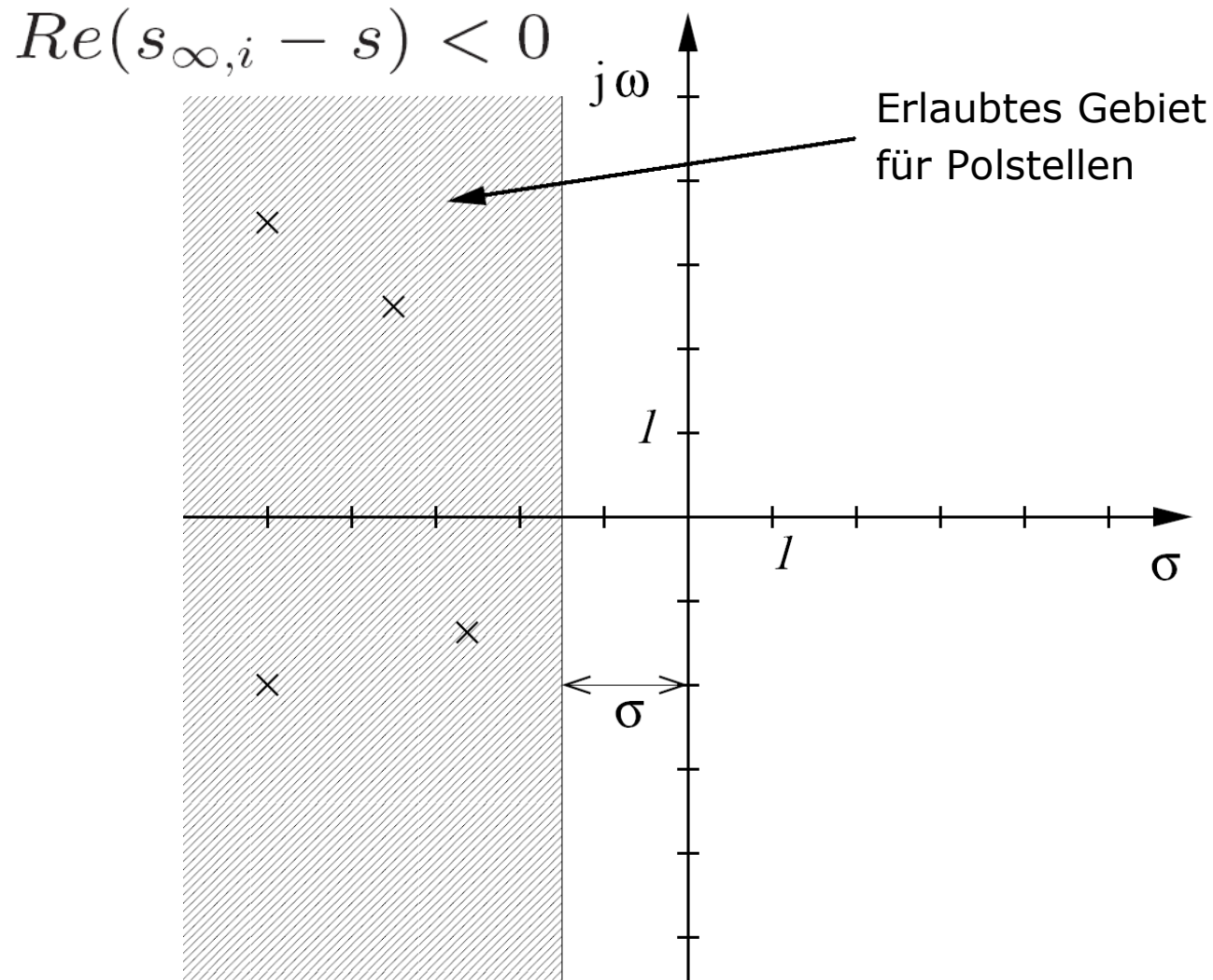
- D.h. der Grenzwert

$$\lim_{t \rightarrow \infty} \frac{1}{s_{\infty,i} - s} e^{(s_{\infty,i}-s)t}$$

muss existieren.

- Der Grenzwert existiert, wenn der Exponent negativ ist: $\operatorname{Re}(s_{\infty,i} - s) < 0$

Rationale Laplacetransformation: Konvergenz III



Rationale Laplacetransformation: Stabilität I

Wir gehen in umgekehrter Richtung vor:

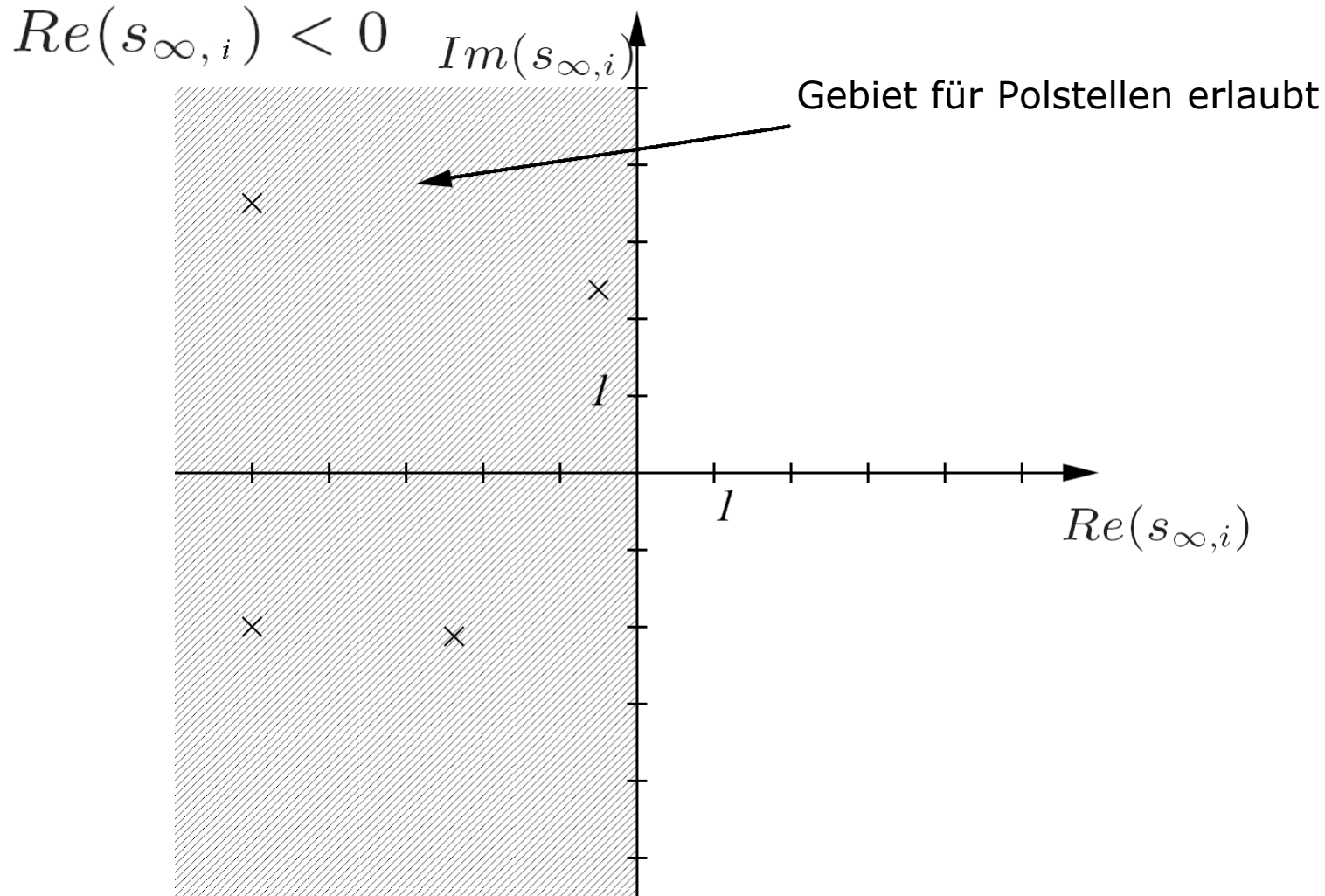
- Sei $H(s)$ rationale Transferfunktion mit Polstellen:
 $s_{\infty,0}, \dots, s_{\infty,n}$

- Dann hat die Impulsantwort des Systems die Form:

$$h(t) = \sum_{i=1}^n A_i e^{s_{\infty,i} t} s(t)$$

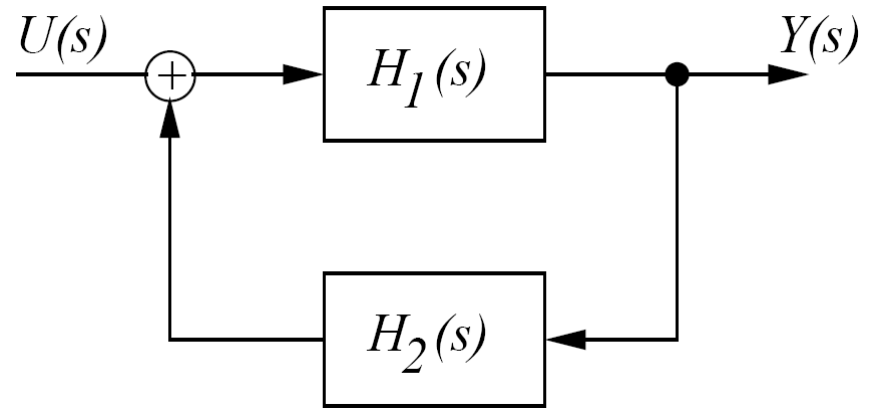
- Dieses System ist stabil, wenn alle Polstellen negativ sind:
 $\operatorname{Re}(s_{\infty,i}) < 0 \quad \forall i \in [0 \dots n]$
- Eine rationale Laplace-Transferfunktion beschreibt ein **stabiles System**, wenn die **Realteile aller Polstellen negativ** sind.

Rationale Laplacetransformation: Stabilität II



Rationale Laplacetransformation: Beispiel für Stabilität

- Zwei Systeme $H_1(s) = \frac{6}{1+s}$ und $H_2(s) = \frac{1}{2+s}$ sind wie folgt verbunden:



- Ist das System stabil?
- Mit Superpositionsprinzip:

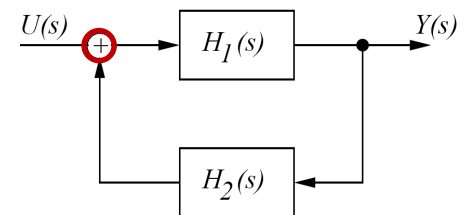
$$Y(s) = H_1(s)U(s) + H_1(s)H_2(s)Y(s)$$

$$\Rightarrow H(s) = \frac{Y(s)}{U(s)} = \frac{H_1(s)}{1 - H_1(s)H_2(s)}$$

Beispiel Fortsetzung

$$\begin{aligned} H(s) &= \frac{H_1(s)}{1 - H_1(s)H_2(s)} & H_1(s) &= \frac{6}{1+s} \\ &= \frac{6/(1+s)}{1 - \frac{6}{(1+s)(2+s)}} & H_2(s) &= \frac{1}{2+s} \\ &= \frac{6(2+s)}{(1+s)(2+s) - 6} \\ &= \frac{12 + 6s}{s^2 + 3s - 4} = \frac{12 + 6s}{\underline{(s-1)(s+4)}} \end{aligned} \quad \text{Stabil?}$$

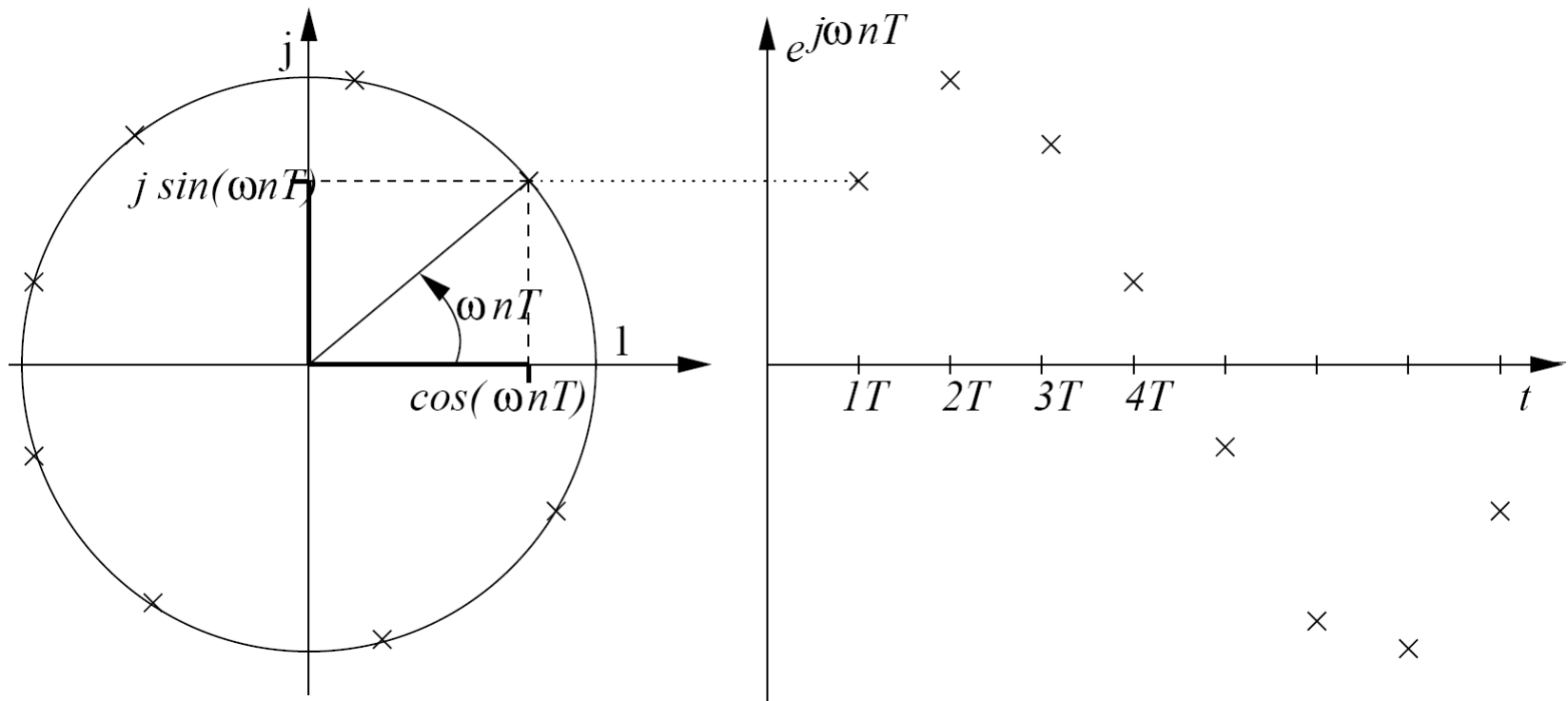
- System hat Polstelle bei $s=1$
=> System ist nicht stabil!



Zeitdiskrete Systeme

- Fouriertransformation $H(j\omega)$ und Laplacetransformation $H(s)$ beschreiben zeitkontinuierliche Systeme
- Jetzt: Zeitdiskrete Systeme
- Motivation:
 - Computer und Regler arbeiten getaktet
 - Signale werden zeitlich diskretisiert gespeichert und verarbeitet
- Zeitbasis: $T^* = \{n T \mid n \in \mathbb{Z}, T \in \mathbb{R}\}$

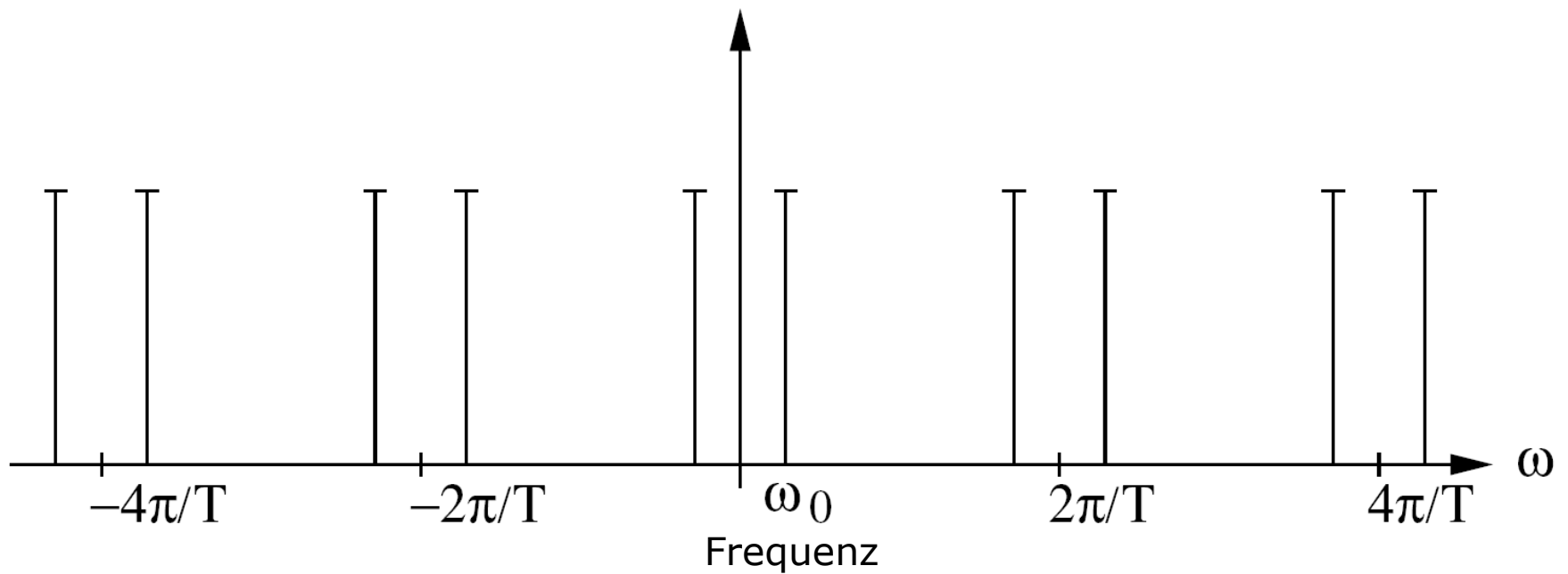
Zeitdiskrete komplexe Exponentialfunktion



$$f[n] = f[nT] = e^{j\omega nT}$$

Spektrum der Sinus-Folge

- Periodisch mit Periode $2\pi/T$



Eingabe Sinusoid, Ausgabe?

- Gegeben zeitdiskretes System mit Impulsantwort $h[n]$ und Eingabe $u[n] = ce^{j\omega nT}$
- Ausgabe wird durch Konvolution $u*h$ berechnet:

$$y[n] = \sum_{\nu=-\infty}^{\infty} u[n-\nu]h[\nu] = c \sum_{\nu=-\infty}^{\infty} e^{j\omega(n-\nu)T} h[\nu]$$

$$y[n] = \underbrace{ce^{j\omega nT}}_{u[n]} \underbrace{\sum_{\nu=-\infty}^{\infty} e^{-j\nu\omega T} h[\nu]}_{H(e^{j\omega T})}$$

$$H(e^{j\omega T}) = \left. \frac{y[n]}{u[n]} \right|_{u[n]=e^{jn\omega T}} \quad |\omega| \leq \omega_0/2 \quad \omega_0 = 2\pi/T$$

$$H(j\omega) = \left. \frac{y[n]}{u[n]} \right|_{u[n]=ce^{j\omega nT}} = \frac{Y(j\omega)}{U(j\omega)}$$

Zeitdiskrete Fourier-Transformation

- Ersetze $\Omega = \omega T$ und $d\omega = d\Omega/T$

- Vorwärts-Transformation

$$F(e^{j\Omega}) = \sum_{n=-\infty}^{\infty} f[n] e^{-jn\Omega}$$

- Rückwärts-Transformation

$$f[n] = \frac{1}{2\pi} \int_{-\pi}^{\pi} F(e^{j\Omega n}) e^{j\Omega n} d\Omega$$

- Konvergenz g.d.w. $\sum_{n=-\infty}^{\infty} |f[n]| < \infty$

Beispiel für Diskrete Fourier-Transformation

- Gegeben: System mit Impulsantwort

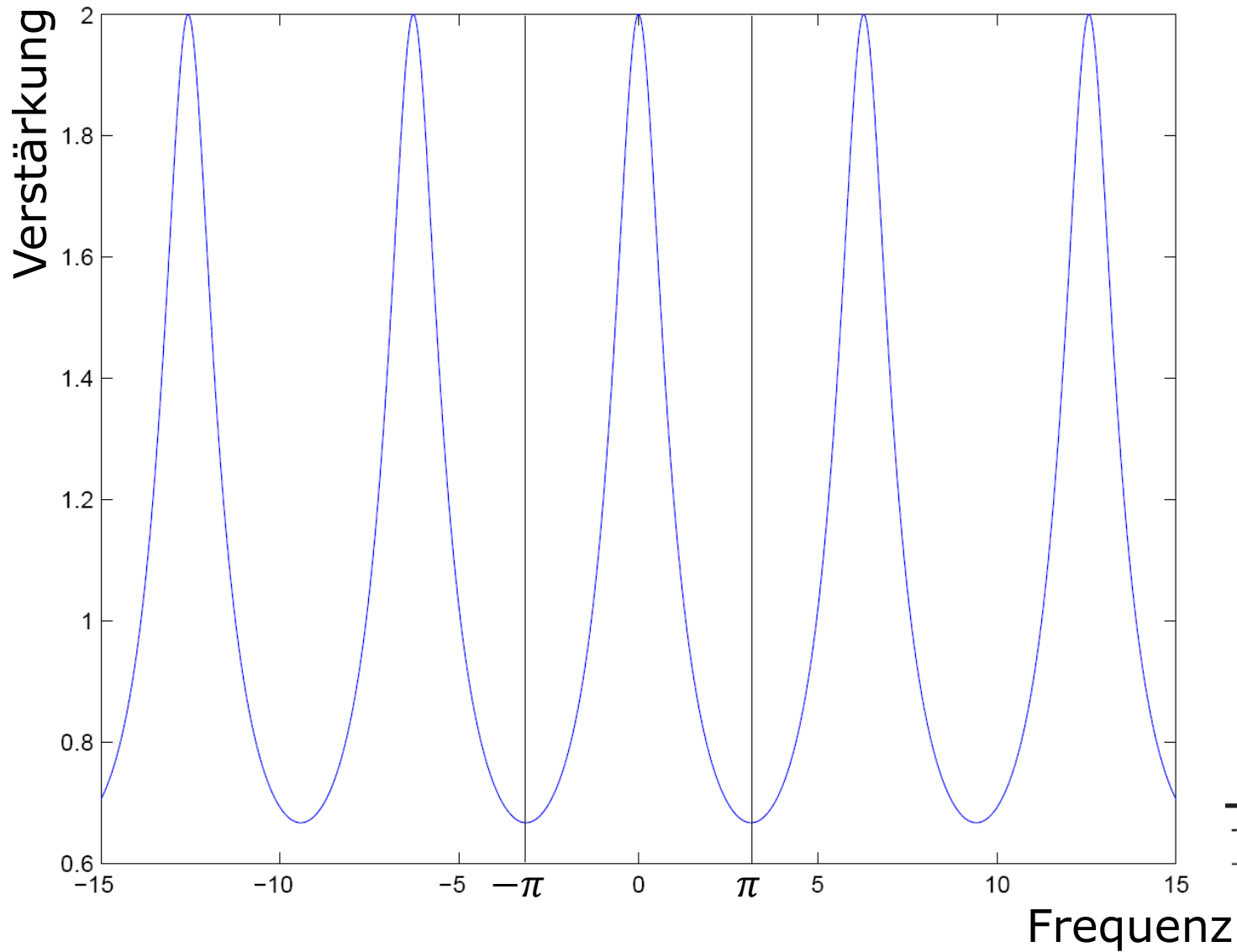
$$h[n] = s[n](1/2)^n$$

- Fourier-Transformation

$$\begin{aligned} H(e^{j\Omega}) &= \sum_{n=0}^{\infty} \frac{1}{2}^n (e^{-j\Omega})^n \\ &= \sum_{n=0}^{\infty} (0.5e^{-j\Omega})^n \\ &= \frac{1}{1 - 0.5e^{-j\Omega}} \end{aligned}$$

Geometrische Reihe

Beispiel-Spektrum



$$\frac{1}{1 - 0.5e^{-j\Omega}}$$

Z-Transformation

- Fourier-Transform des Signals $f[n]$:

$$F(e^{j\Omega}) = \sum_{n=-\infty}^{\infty} f[n] e^{-j\Omega n}$$

- **Problem**: Konvergenz g.d.w. $\sum_{-\infty}^{\infty} |f[n]| < \infty$

- **Idee**: Multipliziere $f[n]$ mit geometrischer Reihe r^{-n}
- Dann Konvergenz wenn

$$\sum_{n=-\infty}^{\infty} |f[n] r^{-n}| < M < \infty$$

Z-Transformation

- Fourier-Transform der mit r^{-n} multiplizierten Folge:

$$\begin{aligned} f[n] r^{-n} &\circ\text{---} \sum_{n=-\infty}^{\infty} f[n] r^{-n} e^{-jn\Omega} \\ &= \sum_{n=-\infty}^{\infty} f[n] (r e^{j\Omega})^{-n} \end{aligned}$$

- Anstatt $r e^{j\Omega}$ schreiben wir $z \in \mathbb{C}$:

$$F(z) = \sum_{n=-\infty}^{\infty} f[n] z^{-n}$$

Inverse Z-Transformation

- Inverse Z-Transformation:

$$f[n] = \frac{1}{2\pi j} \oint_C F(z) z^{n-1} dz$$

C Pfad um den Ursprung in positiver Richtung, innerhalb der Konvergenzregion

- Notation:

$$f[n] \quad \circ \text{---} \bullet \quad F(z)$$

$$F(z) \quad \bullet \text{---} \circ \quad f[n]$$

Transfer-Funktion

- Z-Transformation der Impulsantwort $h[n]$ charakterisiert zeitdiskretes System

$$h[n] \quad \circ \text{---} \bullet \quad H(z) = \frac{Y(z)}{U(z)}$$

- $H(z)$ ist die **Transferfunktion** des Systems

Z-Transformation Beispiel

- Gesucht: Z-Transformation der Stufenfunktion $s[n]$ und Konvergenzgebiet

$$F(z) = \sum_{n=-\infty}^{\infty} f[n]z^{-n} = \sum_{n=0}^{\infty} z^{-n} = \sum_{n=0}^{\infty} (z^{-1})^n$$

- Konvergenz für $|z| > 1$ (geometrische Summe)

$$F(z) = \frac{1}{1 - z^{-1}} = \frac{z}{z - 1} \quad , \quad |z| > 1$$

Z-Transformation Korrespondenzen

**Zeitdiskretes
Signal**

Frequenzdarstellung

$f[n]$

$F(z)$

$\delta[n]$



1

$z \in \mathbb{R}$

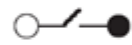
$\delta[n - m]$



z^{-m}

$z \neq 0 \quad \forall m > 0 \text{ or } z \neq \infty \quad \forall m < 0$

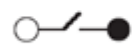
$s[n]$



$\frac{1}{1 - z^{-1}}$

$|z| > 1$

$s[n] a^n$



$\frac{1}{1 - a z^{-1}}$

$|z| > |a|$

$s[n] n a^n$



$\frac{a z^{-1}}{(1 - a z^{-1})^2}$

$|z| > |a|$

$s[n] n^2 a^n$



$\frac{a z^{-1} + a^2 z^{-2}}{(1 - a z^{-1})^3}$

Z-Transformation: Zeitverschiebung

- Gegeben: $f[n] \circ \swarrow \bullet F(z)$
- Gesucht: Z-Transformation von $f[n - k]$

$$\begin{aligned}
 f[n - k] \quad \circ \swarrow \bullet \quad & \sum_{n=-\infty}^{\infty} f[n - k] z^{-n} \\
 & \boxed{m = n - k} \\
 = & \sum_{m=-\infty}^{\infty} f[m] z^{-m-k} = z^{-k} \sum_{m=-\infty}^{\infty} f[m] z^{-m} \\
 = & z^{-k} F(z)
 \end{aligned}$$

**Jeder Zeitschritt Verschiebung
entspricht Vorfaktor z^{-1}**

Z-Transformation: Eigenschaften

- Bekannte Korrespondenzen:

$$f[n] \circ \swarrow \rightarrow \bullet F(z), \quad f_1[n] \circ \swarrow \rightarrow \bullet F_1(z), \quad f_2[n] \circ \swarrow \rightarrow \bullet F_2(z)$$

- Dann gelten auch folgende Korrespondenzen:

- **Linearität:**

$$k_1 f_1[n] + k_2 f_2[n] \quad \circ \swarrow \rightarrow \bullet \quad k_1 F_1(z) + k_2 F_2(z)$$

- **Zeitverschiebung:**

$$f[n - k] \quad \circ \swarrow \rightarrow \bullet \quad F(z) z^{-k}$$

- **Konvolution:**

$$f_1[n] * f_2[n] \quad \circ \swarrow \rightarrow \bullet \quad F_1(z) F_2(z)$$

Beispiel fortgesetzt

- Wir haben Korrespondenz zur Stufenfunktion $s[n]$ gezeigt:

$$s[n] \circ \text{---} \bullet \frac{1}{1 - z^{-1}}$$

- Ein System mit Impulsantwort $s[n]$ hat also die Transferfunktion:

$$H(z) = \frac{Y(z)}{U(z)} = \frac{1}{1 - z^{-1}}$$

$$\Rightarrow Y(z) = \frac{U(z)}{1 - z^{-1}} \Rightarrow Y(z) - Y(z)z^{-1} = U(z)$$

- Rücktransformation in Zeitdomäne:

$$y[n] - y[n - 1] = u[n]$$

$$y[n] = u[n] + y[n - 1] = \sum_{k=-\infty}^n u[k]$$

**Summe
aller
bisherigen
Eingaben**

Rationale Z-Transformation

Erinnerung:

- Homogene lineare **Differentialgleichungen** entsprechen rationalen Laplace-Transformationen $H(s)$
- Dies basiert auf der Korrespondenz:

$$\frac{d}{dt}f(t) \quad \circ \longrightarrow \bullet \quad s F(s)$$

Jetzt:

- Lineare **Differenzengleichungen** entsprechen rationalen Z-Transformationen $H(z)$
- Dies basiert auf der Zeitverschiebungs-Korrespondenz

$$f[n - k] \quad \circ \text{---} \bullet \quad z^{-k} F(z)$$

Lineare Differenzengleichungen

- Lineare Gleichungssysteme der Form:

$$y[n] = \sum_{k=1}^N a_k y[n-k] + \sum_{k=0}^M b_k u[n-k]$$

beschreiben Systemverhalten in der Zeitdomäne

- Z-Transformation, Linearität, Zeitverschiebung:

$$Y(z) = \sum_{k=1}^N a_k z^{-k} Y(z) + \sum_{k=0}^M b_k z^{-k} U(z)$$

Lineare Differenzengleichungen II

$$Y(z) = \sum_{k=1}^N a_k z^{-k} Y(z) + \sum_{k=0}^M b_k z^{-k} U(z)$$

$$Y(z) = \frac{\sum_{k=0}^M b_k z^{-k}}{1 - \sum_{k=1}^N a_k z^{-k}} U(z)$$

■ Transferfunktion:

$$H(z) = \frac{Y(z)}{U(z)} = \frac{\sum_{k=0}^M b_k z^{-k}}{1 - \sum_{k=1}^N a_k z^{-k}} = \frac{N(z^{-1})}{D(z^{-1})}$$

Lineare Differenzengleichungen III

- Polynome $N(z^{-1})$ und $D(z^{-1})$ können umgeschrieben werden:

$$N(z^{-1}) = \sum_{k=0}^M b_k z^{-k} = \frac{1}{z^M} \sum_{k=0}^M b_{M-k} z^k = \frac{1}{z^M} N'(z)$$

$$D(z^{-1}) = 1 - \sum_{k=1}^N a_k z^{-k} = 1 - \frac{1}{z^N} \sum_{k=0}^{N-1} a_{N-k} z^k = \frac{1}{z^N} D'(z)$$

- Nullstellen ändern sich nicht!
- Alternative Repräsentation der Transferfunktion:

$$H(z) = \frac{z^N}{z^M} \frac{N'(z)}{D'(z)} = z^{N-M} \frac{N'(z)}{D'(z)}$$

Produktdarstellung

- Wie bei der rationalen Laplace-Transformation hat auch hier ein Polynom vom Grad n n komplexe Nullstellen

➔ Zähler hat M Nullstellen $z_{0,k}$,

Nenner hat N Nullstellen $z_{\infty,k}$,

die Polstellen der Transferfunktion $H(z)$ sind

- Produktdarstellung:

$$H(z) = A z^{N-M} \frac{\prod_{k=1}^M (z - z_{0,k})}{\prod_{k=1}^N (z - z_{\infty,k})} = A \frac{\prod_{k=1}^M (1 - z_{0,k} z^{-1})}{\prod_{k=1}^N (1 - z_{\infty,k} z^{-1})}$$

Darstellung als Partialbruch

- Repräsentiere rationale Transferfkt. $H(z)$ mit $N \geq M$ wie folgt:

$$H(z) = K_0 + \sum_{i=1}^N \frac{K_i}{1 - z_{\infty,i} z^{-1}}$$

- Mit $K_0 = \lim_{z \rightarrow \infty} H(z)$

$$K_i = \lim_{z \rightarrow z_{\infty,i}} H(z)(1 - z_{\infty,i} z^{-1})$$

Partialbruch-Beispiel

■ Gegeben: $H(z) = \frac{1}{1 - 1.5z^{-1} + z^{-2} - 0.25z^{-3}}$

■ Gesucht: Partialbruchdarstellung

■ Polstellen:

$$z_{\infty,1} = 0.5, z_{\infty,2} = 0.5 + 0.5j, z_{\infty,3} = 0.5 - 0.5j$$

■ Partialbruch-Ansatz:

$$H(z) = \frac{K_1}{1 - 0.5 z^{-1}} + \frac{K_2}{1 - (0.5 + 0.5j) z^{-1}} + \frac{K_3}{1 - (0.5 - 0.5j) z^{-1}}$$

Partialbruch-Beispiel II

$$H(z) = \frac{K_1}{1 - 0.5 z^{-1}} + \frac{K_2}{1 - (0.5 + 0.5j) z^{-1}} + \frac{K_3}{1 - (0.5 - 0.5j) z^{-1}}$$

$$K_1 = \left. \frac{1}{(1 - (0.5 + 0.5j)z^{-1})(1 - (0.5 - 0.5j)z^{-1})} \right|_{z=0.5} = 1$$

$$K_2 = -j$$

$$K_3 = j$$

■ Resultierende Partialbruchdarstellung:

$$H(z) = \frac{1}{1 - 0.5z^{-1}} + \frac{-j}{1 - (0.5 + 0.5j)z^{-1}} + \frac{j}{1 - (0.5 - 0.5j)z^{-1}}$$

Rücktransformation der Partialbruchdarstellung

- Erinnerung:

$$s[n] a^n \quad \circ \text{---} \bullet \quad \frac{1}{1 - a z^{-1}}$$

- Wir können die Terme einzeln rücktransformieren:

$$\frac{K_i}{1 - z_{\infty,i} z^{-1}} \quad \bullet \text{---} \circ \quad s[n] K_i z_{\infty,i}^n$$

- Jeder Term korrespondiert zu geometrischer Reihe in Zeit-Domäne

Beispiel für Rücktransformation

- Aus dem vorigen Beispiel haben wir:

$$\begin{array}{ll}
 \frac{1}{1 - 0.5z^{-1}} & \bullet \text{---} \diagdown \text{---} \circ \quad s[n]0.5^n \\
 \frac{-j}{1 - (0.5 + 0.5j)z^{-1}} & \bullet \text{---} \diagdown \text{---} \circ \quad -s[n]j(0.5 + 0.5j)^n \\
 \frac{j}{1 - (0.5 - 0.5j)z^{-1}} & \bullet \text{---} \diagdown \text{---} \circ \quad s[n]j(0.5 - 0.5j)^n
 \end{array}$$

- Man kann zeigen:

$$j(0.5 - 0.5j)^n - j(0.5 + 0.5j)^n = 2(\sqrt{0.5})^n \sin(n\pi/4)$$

- Damit: $h[n] = 0.5^n + 2(\sqrt{0.5})^n \sin(n\pi/4)$

Interpretation der Rücktransformation

- Rücktransformation rationaler Transferfunktionen
 $H(z)$ ist Linearkombination komplexer geometrischer Reihen

$$cz_{\infty,i}^n$$

- Interessante Spezialfälle:

- $z_{\infty,i} = 0$

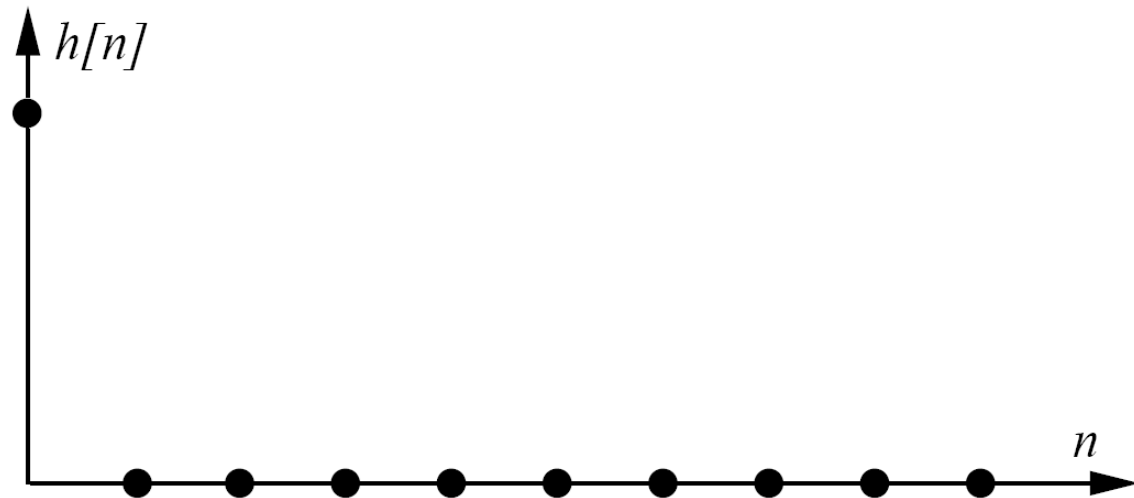
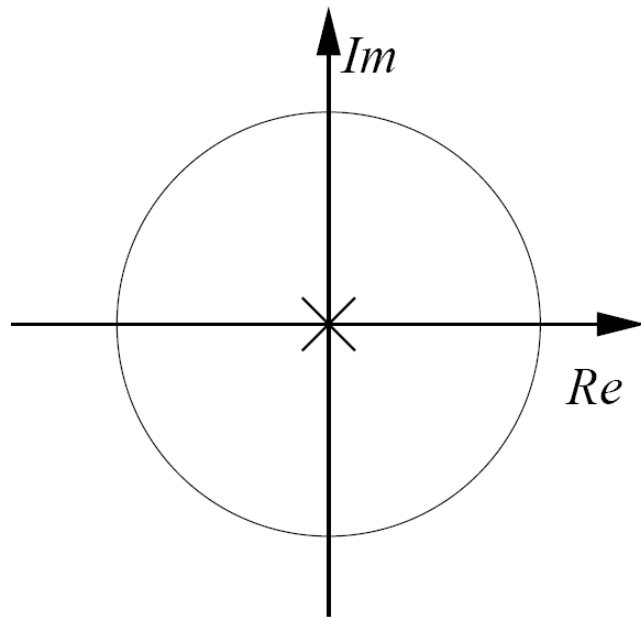
- $z_{\infty,i} \in (0, 1)$

- $z_{\infty,i} \in (1, \infty)$

- Konjugierte Polstellen: $z_{\infty,k} = z_{\infty,i}^*$

Polstelle bei Null

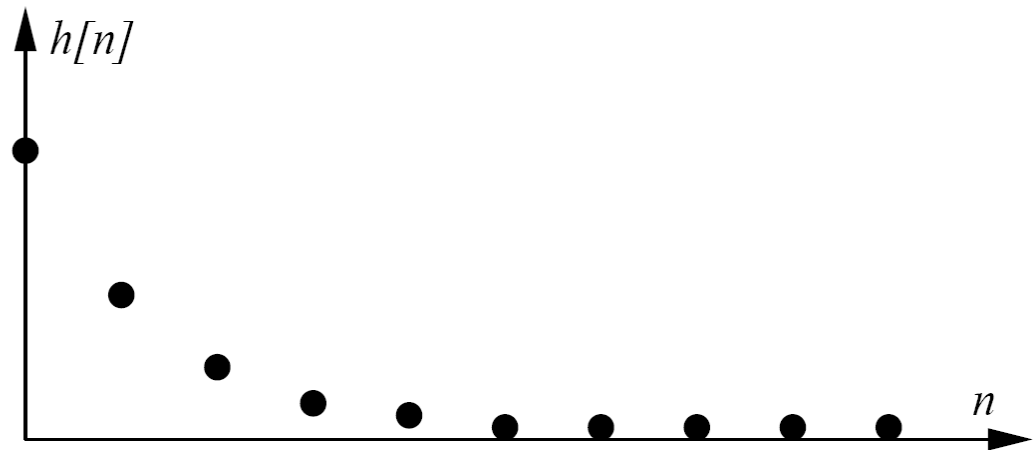
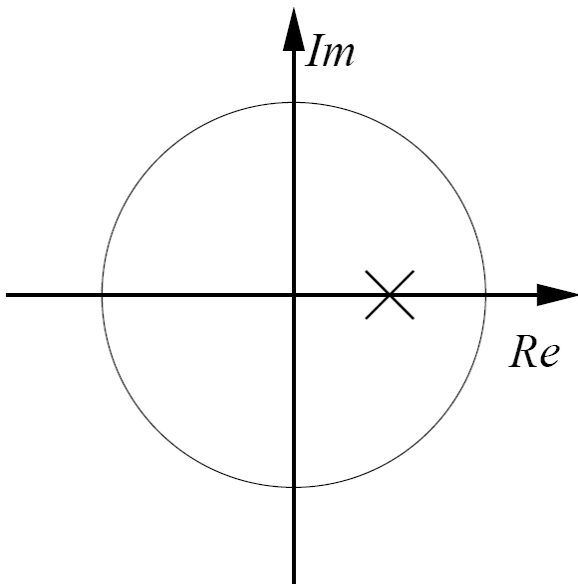
$$\frac{K_i}{1 - 0z^{-1}} \quad \bullet \rightsquigarrow \circ \quad s[n] K_i 0^n = K_i \delta[n]$$



- Polstelle bei Null korrespondiert zu Delta-Impuls

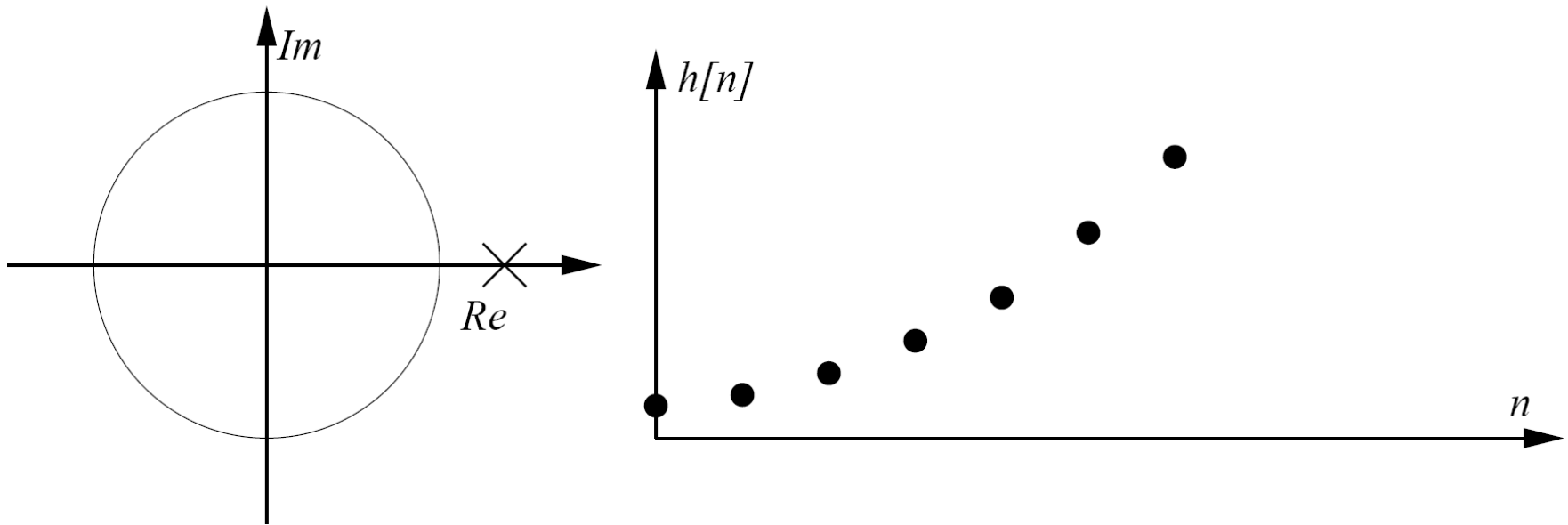
Stabile Reelle Polstelle

- $0 < z_{\infty,i} < 1$ hat monoton fallende geometrische Reihe als Impulsantwort



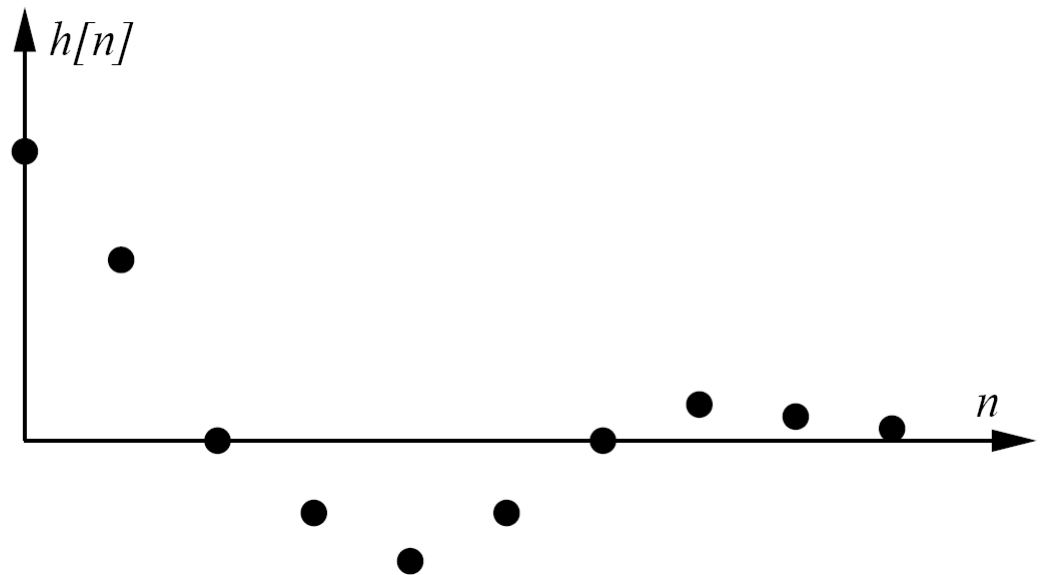
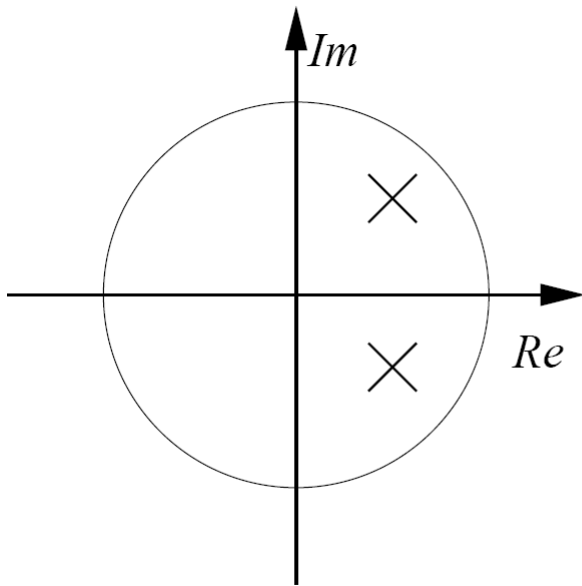
Instabile Reelle Polstelle

- $1 < z_{\infty,i}$ hat steigende geometrische Reihe als Impulsantwort



Konjugiert-Komplexe Polstellen


- $z_{\infty,k} = z_{\infty,i}^*$ erzeugen sinusoidale Impulsantwort
- Konvergenz hängt vom Betrag ab



Stabilität Zeitdiskreter Systeme

- $H(z)$ stabil, wenn alle Partialbrüche stabil

- $$\frac{1}{1 - K_i z_{\infty,i} z^{-1}}$$


 $K_i z_{\infty,i}^n$

- Stabilität folgt aus Additivität der Beträge
- Betrag aller Polstellen muss kleiner als Eins sein:

$$|z_{\infty,i}| < 1$$

